

ния. Занимаясь вопросом об усовершенствовании парусов, А. Флэттнер в 1923 г. пришел к мысли использовать вместо парусов вращающиеся цилиндры («роторы»). Экспериментальные исследования показали, что приводимый во вращение ротор действует при ветре по тем же законам, что и обыкновенный парус, но имеет то преимущество, что его поверхность значительно меньше, нежели у эквивалентного по силе паруса. На рис. 4.37

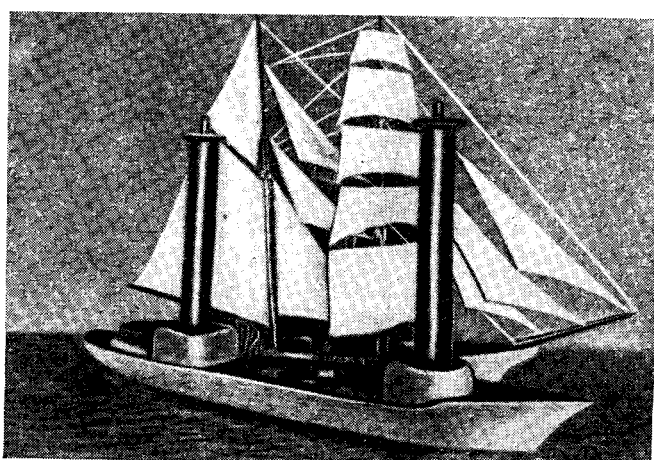


Рис. 4.37. Модели двух лодок: парусной и роторной, которые по испытаниям в аэродинамической трубе оказались почти равноценными.

представлена фотография двух моделей лодок, которые были испытаны в аэродинамической трубе и оказались почти равноценными; площадь парусов здесь в 10 раз больше площади проекции цилиндров.

Для проверки действия роторов на практике был использован трехмачтовый моторнопарусный бриг «Букау» водоизмещением в 778 т (длина брига 45 м, ширина 9 м). Вместо мачт на корабле были установлены две роторные башни высотой в 18,5 м и диаметром в 2,8 м. Испытания, проведенные в 1924 г., показали, что при затрате мощности на вращение роторов в 9 л. с. скорость хода при ветре может достигнуть 8,2 узла, или 15,2 км/час. При этом из ветра извлекается энергия, примерно в 50 раз большая затраченной. Корабль показал при испытании хорошую маневренность и простоту в обслуживании роторов (управлять ими может один человек, тогда как для парусов требуется большая команда).

§ 14. Обтекание шара потенциальным потоком несжимаемой жидкости

1. Диполь в пространстве. Рассмотрим теперь поток, который получается из пространственного источника и пространственного стока равных расходов Q в пределе, когда $Q \rightarrow \infty$, а расстояние между центрами источника и стока $2\epsilon \rightarrow 0$.

При наложении поступательного потока на поток от источника и стока равных расходов получается обтекание овального тела вращения, подобно тому, как в аналогичных условиях для плоскости получается обтекание

овального цилиндра. При наложении поступательного потока на упомянутый предельный поток получается обтекание шара. Вычислим потенциал скоростей и функцию тока этого потока. Возьмем цилиндрическую систему координат, в которой ось x проходит через центры источника и стока (положительное направление оси x считаем от центра источника к центру стока), а начало координат расположено посередине расстояния между центрами. Тогда потенциалы скоростей и функции тока налагаемых потоков определяются следующими формулами:

$$\varphi_{\text{ист}} = -\frac{Q}{4\pi} \frac{1}{\sqrt{(x+\varepsilon)^2 + r^2}}, \quad \psi_{\text{ист}} = \frac{Q}{4\pi} \frac{x+\varepsilon}{\sqrt{(x+\varepsilon)^2 + r^2}},$$

$$\varphi_{\text{ст}} = \frac{Q}{4\pi} \frac{1}{\sqrt{(x-\varepsilon)^2 + r^2}}, \quad \psi_{\text{ст}} = -\frac{Q}{4\pi} \frac{x-\varepsilon}{\sqrt{(x-\varepsilon)^2 + r^2}}.$$

Для потока, который представляет собой результат наложения источника и стока, имеем теперь следующий потенциал скоростей:

$$\varphi = -\frac{Q}{4\pi} \left[\frac{1}{\sqrt{(x+\varepsilon)^2 + r^2}} - \frac{1}{\sqrt{(x-\varepsilon)^2 + r^2}} \right]$$

и функцию тока:

$$\psi = \frac{Q}{4\pi} \left[\frac{x+\varepsilon}{\sqrt{(x+\varepsilon)^2 + r^2}} - \frac{x-\varepsilon}{\sqrt{(x-\varepsilon)^2 + r^2}} \right].$$

Диполем (в пространстве) называется поток, который получается отсюда при переходе к пределу, когда $\varepsilon \rightarrow 0$, $Q \rightarrow \infty$, но так, что произведение $2\varepsilon Q = M$; величина M называется моментом диполя, а ось x — осью диполя. Потенциал скоростей и функцию тока диполя в пространстве вычисляем так же, как вычисляли эти функции для случая плоского диполя.

В результате окончательно получаем:

$$\varphi_{\text{дип}} = \frac{M}{4\pi} \frac{x}{(x^2 + r^2)^{3/2}} =$$

$$= \frac{M}{4\pi\rho^2} \cos\vartheta, \quad (4.58)$$

$$\psi_{\text{дип}} = -\frac{M}{4\pi} \frac{r^2}{(x^2 + r^2)^{3/2}} =$$

$$= -\frac{M}{4\pi\rho} \sin^2\vartheta, \quad (4.59)$$

где ρ и ϑ — полярные координаты точки в плоскости, проходящей через ось x . Линии тока диполя в пространстве в одной из меридиональных плоскостей представлены на рис. 4.38.

2. Обтекание шара потенциальным потоком. Обтекание шара может быть исследовано аналогично тому, как было исследовано обтекание кругового цилиндра. Необходимо для этого наложить на диполь в пространстве поступательный поток, направленный вдоль оси x .

Для результирующего потока будем иметь:

$$\varphi = Vx + \frac{M}{4\pi} \frac{x}{(x^2 + r^2)^{3/2}}, \quad \psi = \frac{Vr^2}{2} - \frac{M}{4\pi} \frac{r^2}{(x^2 + r^2)^{3/2}}.$$

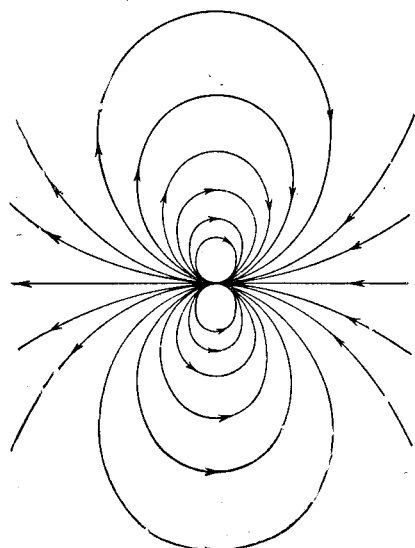


Рис. 4.38. Линии тока диполя в пространстве.

головой цилиндр. Необходимо для этого наложить на диполь в пространстве поступательный поток, направленный вдоль оси x .

Приравнивая ψ постоянной величине, получаем уравнение семейства линий тока:

$$r^2 \left[\frac{V}{2} - \frac{M}{4\pi} \frac{1}{(x^2 + r^2)^{3/2}} \right] = \text{const} = c.$$

При $c=0$ уравнение соответствующей линии тока имеет вид

$$r^2 \left[\frac{V}{2} - \frac{M}{4\pi} \frac{1}{(x^2 + r^2)^{3/2}} \right] = 0.$$

Оно распадается на два: $r=0$, что изображает ось x , и

$$\frac{V}{2} - \frac{M}{4\pi} \frac{1}{(x^2 + r^2)^{3/2}} = 0;$$

последнее уравнение после преобразований принимает вид

$$x^2 + r^2 = \sqrt[3]{\left(\frac{M}{2\pi V}\right)^2},$$

откуда ясно, что оно изображает окружность с центром в начале координат и радиусом

$$r_0 = \sqrt[3]{\frac{M}{2\pi V}}.$$

Таким образом, для того чтобы получить обтекание шара заданного радиуса r_0 поступательным потоком с заданной скоростью V , необходимо

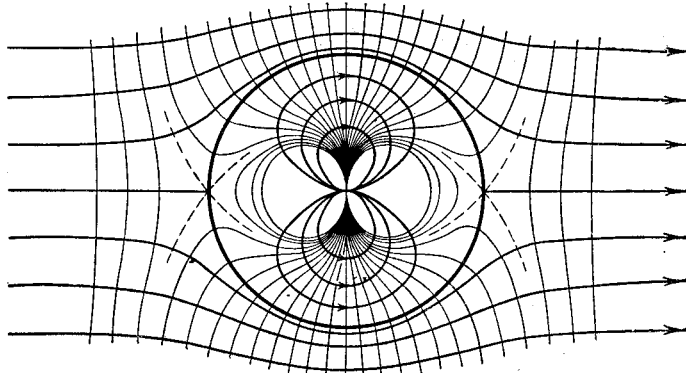


Рис. 4.39. Линии тока и линии равного потенциала при наложении прямо-линейно-поступательного потока на диполь в пространстве.

в этот поток поместить диполь с осью, параллельной V , момент которого вычисляется из последней формулы

$$M = 2\pi V r_0^3.$$

Потенциал скоростей и функцию тока для обтекания шара радиуса r_0 можно теперь выразить через известные величины, подставив вместо M его последнее значение. В полярных координатах ρ, ϑ получаем:

$$\varphi = V\rho \cos \vartheta \left(1 + \frac{r_0^3}{2\rho^3} \right), \quad \psi = \frac{V\rho^2 \sin^2 \vartheta}{2} \left(1 - \frac{r_0^3}{\rho^3} \right).$$

Определенные по этим формулам линии тока и линии равного потенциала изображены для одной из меридиональных плоскостей на рис. 4.39.

Исходя из любой из последних формул, можно вычислить распределение скоростей в потоке, обтекающем шар.

В частности, для точек, лежащих на поверхности шара, т. е. для которых $\rho = \rho_0$, находим:

$$v_p = 0, \quad v_s = -\frac{3}{2} V \sin \theta. \quad (4.60)$$

Сравнивая этот результат с результатом, полученным для кругового цилиндра, видим, что скорости на шаре меньше скоростей в соответствующих точках кругового цилиндра; их отношение равно 0,75.

§ 15. Дальнейшее развитие метода наложения потоков. Приведение задачи к интегральному уравнению

Мы видели в предыдущих параграфах, что если соответствующим образом подобрать налагаемые потоки, то можно получить поток, обтекающий то или иное тело. Можно было бы продолжить и дальше процесс постепенного усложнения потоков и при этом всякий раз отыскивать форму тела, обтекание которого получается в найденном потоке. Однако такой процесс при всей своей простоте все же не может удовлетворять нас; отыскание потока, обтекающего то или иное тело, здесь целиком поставлено в зависимости от того, насколько удачно подобраны налагаемые потоки. Такой процесс подбора, хотя и расширяет круг известных нам движений жидкости, все же не может планомерно привести к нахождению потока, обтекающего заданное тело: поиски этого потока производились бы здесь в значительной мере «вслепую». Более того, получив в результате наложения потоков обтекание тела той или иной формы, мы не смогли бы судить об удобообтекаемости этой формы. Удобообтекаемость определяется величиной сопротивления тела, а предполагая поток потенциальным и, следовательно, пренебрегая касательными напряжениями, мы тем самым лишены возможности теоретически определить сопротивление. Поэтому нельзя выбирать таким способом форму тел: при проектировании летательного аппарата формы его частей выбираются из иных соображений, с учетом их сопротивления. Обычно лишь после того, как они выбраны, возникает задача об определении поля скоростей при обтекании их потенциальным потоком несжимаемой жидкости.

Таким образом, с практической точки зрения оказывается целесообразным поставить по отношению к методу наложения потоков несколько иной вопрос, нежели тот, которым мы занимались в предыдущих параграфах. Там мы налагали известные нам элементарные потоки, исследовали результирующий поток и определяли форму тела, которое можно представить себе погруженным в этот поток без нарушения картины его линий тока. Теперь же поставим вопрос о том, какие потоки и в каких сочетаниях необходимо наложить друг на друга для того, чтобы получить обтекание тела, *форма которого задана*. Оказывается, что приближенно этот вопрос может быть решен, вообще говоря, для любого тела.

В качестве налагаемых потоков проще всего представлять себе источники и стоки. При движении тела в спокойной среде частицы, которые находятся перед телом, расталкиваются им, частицы, которые находятся за телом, устремляются за ним. Линии тока при таком движении исходят из носовой части и заканчиваются на поверхности тела в кормовой его части. Картина движения в среде получается, следовательно, такая, как если бы на поверхности тела или внутри его находились в носовой части источники, в кормовой части — стоки.

Внутри тела можно по-разному располагать центры источников и стоков. Решение задачи не получается при этом однозначным. Более правильным